

柱の塑性座屈について

東北大學 工學部 正員 茅倉

柱の塑性座屈については、既に Shandley は精密な座屈実験結果および Zフランが断面柱の座屈時の応力変化より、オイラーの座屈式中のヤラケ率の代りに接線弾性係数 E_t を用ひべき事を述べている。本論文は接線弾性係数を用いたものは最小の座屈荷重を與えるものである事を證明すると共に他の支持条件の柱でも理論的には接線弾性係数を用いたものによく、換算長をもつて処理できる事を述べている。

今図-1に示したよに、断面積 A 、軸方向力 P の柱がわざかに曲げ変形を起している場合を考えて見よ。この場合の任意断面における応力分布は図-2に示したよになつてゐるものと考えられる。すなはち P の増加と共に柱は直立せず縮み、その応力分布は下図 N にあつたものとする。この状態で柱が曲がると、断面の四側では $\sigma_1 = E_t \epsilon_1$ 、凸側では $\sigma_2 = E \epsilon_2$ だけ変化する。柱のもつてゐる曲率半径を r とすると、変形後も断面が平面であるといふ仮定によると

$$\frac{1}{P} = -\frac{\epsilon_1}{z_1} = -\frac{\epsilon_2}{z_2} \quad \dots (1)$$



図-1

が得られる。軸方向力 P は曲りながら ΔP だけ増加するものとすると

$$\int_0^{h_d} \sigma_1 dA - \int_0^{h_2} \sigma_2 dA = \Delta P \quad \dots (2)$$

モーメントの釣合より $\int_0^{h_d} \sigma_1 j_1 dA + \int_0^{h_2} \sigma_2 j_2 dA = (P + \Delta P) r \quad \dots (3)$

が得られる。ただし j は断面の重心軸に対するものである。圓から分る通り $\sigma_1 = z_1 f_1 / h_d$, $\sigma_2 = z_2 f_2 / h_2 \quad \dots (4)$

とすれば式(2)から式(3)から次式が得られる。

$$\frac{1}{P} = -\sigma_1 / z_1 E_t, \quad \frac{1}{P} = -\sigma_2 / z_2 E$$

$$\frac{1}{P} (E_t z_{dN} - E z_{BN}) = \Delta P \quad \dots (5)$$

ここで $z_{dN} = \int_0^{h_d} z_1 dA$, $z_{BN} = \int_0^{h_2} z_2 dA$ である。

モーメントの関係は $j_1 = z_1 - r$, $j_2 = -z_2 + r$ と置くと各辺の軸と重心軸との距離を示す

$$\frac{1}{P} (E_t I_d + E I_z) - \frac{1}{P} (E_t z_{dN} - E z_{BN}) = (P + \Delta P) r$$

$\therefore r = I_d / (E_t + E) \quad \dots (6)$

$$t = E_t / E \text{ と置けば } t I_d + I_z - (I_d - I_z)(t z_{dN} - z_{BN}) = -\frac{P \Delta P}{E} \quad \dots (7)$$

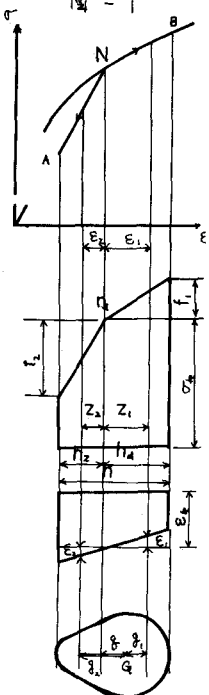


図-2

(8) 式で右の項は他の項に比べて高次の微小量なので省略してある。また(8)式で左辺の $t z_{dn} - z_{en} = 0$ と置いたものはカルマンの導かれた換算座屈係数を表す。

(9) 式の左辺の項を極小にするもののが、同じ E, I_z , α に対する極小の軸力 P を表すので、左辺の値を F と置く

$$F = t I_d - I_z - (h_d - h_g)(t z_{dn} - z_{en}) \quad \cdots (7)$$

を極小にする h_d 及び h_g を求めれば、最小の座屈荷重 P_k が得られる。

図-3 に示すように断面の引張り部分の断面積を A_2 、中立軸より A_2 の重心までの距離を a_2 、圧縮側より A_2 の重心 A_d 及び (圧縮縫合) 断面重心までの距離を h_g とするとき

$$\left. \begin{aligned} A_d A_d - A_2 a_2 &= A(h_d - h_g) \\ ad = \frac{1}{A_d} \int_{z_2}^{h_d} z_2 dA, \quad a_2 = \frac{1}{A_2} \int_{z_2}^{h_g} z_2 dA \\ (h_d - h_g) &= \frac{1}{A} \left(\int_{z_2}^{h_d} z_2 dA - \int_{z_2}^{h_g} z_2 dA \right) \end{aligned} \right\} \quad \cdots (8)$$

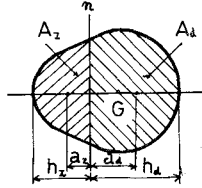


図-3

を得る。 $F = t \left\{ \int_{-h_g}^{h_d} z_2^2 dA - \left[\int_{-h_g}^0 z_2^2 dA - (h_d - h_g) \int_{-h_g}^0 z_2 dA + (h_d - h_g) \int_{-h_g}^0 z_2 dA \right] + \int_{-h_g}^{h_d} z_2^2 dA + (h_d - h_g) \int_{-h_g}^{h_d} z_2 dA \right\} \cdots (9)$

$$と書き変えれば \quad t \left\{ \int_{-h_g}^{h_d} z_2^2 dA - (h_d - h_g) \int_{-h_g}^{h_d} z_2 dA \right\} = t \left\{ I_{z_2} - (h_d - h_g) A_d \right\} = t I_{z_2}$$

$= z^2 I_{z_2}$ (重心軸周りの断面2次モーメント) である。 $z_1 = -z_2$ である事で考慮すると

$$\int_{-h_g}^0 z_2^2 dA = - \int_{h_g}^{h_d} z_2^2 dA = \int_{h_g}^{h_d} z_2^2 dA, \quad \int_{-h_g}^0 z_2 dA = - \int_{h_g}^{h_d} z_2 dA = - \int_{h_g}^{h_d} z_2 dA \text{ 不等式 } \rightarrow$$

$$F = t I_{z_2} + (1-t) \left\{ \int_{-h_g}^{h_d} z_2^2 dA + (h_d - h_g) \int_{-h_g}^{h_d} z_2 dA \right\} = t I_{z_2} + (1-t) / I_{z_2} + A_2 a_2^2 + (h_d - h_g) \cdot A_2 a_2 \quad \cdots (10)$$

$$= t I_{z_2} + (1-t) / I_{z_2} + \frac{A_2 A_d}{A} (a_d a_2 + a_2^2) \quad \cdots (10)$$

が得られる。 $= z^2 I_{z_2}$ の除荷部分の中立軸周りの断面2次モーメントは I_{z_2} の断面が一定すれば一定の値をもつてあり、したがって正の項となり成っているのであるが、下で最小にするために $a_2 = 0$ 、必然的に $I_{z_2} = 0$ でなければならぬ。すなわち断面上には除荷部分は現われて全断面が- E_t 曲線に従う座屈を起す事になる。

$$\text{結果 (10) 式} \quad - \frac{1}{f} = \frac{P}{E_t I} \neq \cdots (11)$$

と書かれ、オイラー座屈を表す式の代りに E_t と書き変えられたものに過ぎない。両端で4つの支持条件のものに対して (11) 式の形のものが成立つことはあるが、換算長をもつて他の支持条件の柱では E_t によって取扱われる事が分る。しかし他の支持条件のもので、弹性座屈のときと同じ換算長をもつて、塑性座屈の場合も取扱えるといふ実験証明がなされているのは注目に値する。

本論文で取扱った考え方をもつてすれば、残留応力を有する柱の座屈は、ある荷重の下で弹性領域にある断面部分の曲げ剛性によって柱を置き変えれば一つの規定値が得られるといふ事になる。

参考文献 食而正嗣 “塑性座屈” 機械学会誌 昭和30年4月 58巻 435号 P315~322
Shanley, F.R. "Inelastic Column Theory," Journal of the Aeronautical Science Vol.14, p261~267